

**Т. Л. КОВОРОТНИЙ**, асистент, НТУ «ХПІ»,  
**В. О. ЄВСТРАТОВ**, докт. техн. наук, проф., НТУ «ХПІ»,  
**Д. В. ОСТРИКОВ**, магістрант, НТУ «ХПІ».

## ОПТИМІЗАЦІЯ ПРОЦЕСУ ВИГОТОВЛЕННЯ ГНУТИХ ПРОФІЛІВ ЗА КРИТЕРІЄМ ХВИЛЯСТОСТІ. ЧАСТИНА 1

Стаття присвячена аналізу формозміни тонкостінного гнутого профілю. Показано, що використання наявності спрощеної моделі процесу формозміни можна оптимізувати процес за критерієм хвильастості  $K_x$ . Показано, що таке спрощення, як лінійна залежність між кутом підгину та координатою  $u$ , яке прийняте в першій частині, не є коректним. Тому в подальшому буде проаналізовано процес, в якому кут підгину будемо визначати кубічною функцією.

**Ключові слова:** гнутий профіль, критерій хвильастості, крайка, поличка, міжкліткова відстань.

**Вступ.** Виготовлення гнутих профілів зі сталі отримало у вітчизняній промисловості широке розповсюдження. Освоєно та прийнято у виробництво багато різноманітних типорозмірів профілів, виготовляється велика їх номенклатура. Але сьогодні виникла необхідність у виготовленні гнутих профілів з алюмінієвих сплавів, що обумовлено розвитком будівництва та архітектури. Алюмінієві вікна та двері, ажурні перекриття, торгові павільйони та кіоски, алюмінієві радіатори, офісні перегородки, стелі, красиві дахи і багатофункціональні алюмінієві профілі – це тільки деякі невеличкі приклади застосування алюмінієвих профілів в сучасному будівництві та архітектурі.

Сьогодні естетичний вигляд багатьох будинків складається з вдалого дизайну та матеріалу, який ці задуми може втілити в життя. Висока відбивна здатність, бактерицидність, не магнітність, відсутність іскроутворення при ударі, порівняно низькі модулі пружності, значний коефіцієнт лінійного розширення, високі тепло-та електропровідність, добра демпфуюча здатність – ці характеристики стають вирішальними при виборі алюмінієвого профілю для тієї чи іншої конструкції. Завдяки своїм властивостям і розвитку технології оброблення металів тиском, механічного, термічного та хімічного оброблення, алюмінієвий сайдинг поступово стає витісняти сталеві профілі для облицювання.

**Мета досліджень, постанова проблеми.** Метою роботи є аналіз формоутворення тонкостінних гнутих профілів з алюмінієвих сплавів, побудова математичної моделі хвильастості, розробка рекомендацій з технології їхнього виробництва.

Виробництво з алюмінію та його сплавів тонкостінних профілів методами холодного вальцовування (профілювання) одержало широкий розвиток у ряді країн: Австрії, Канаді, Німеччині, Польщі, США, Росії, Франції, Японії.

Незважаючи на те, що тонкостінні профілі з алюмінію та його сплавів широко застосовуються за кордоном, у літературі немає рекомендацій з розроблення технології їхнього профілювання, бо відсутні математичні моделі та експериментальні дані щодо тонкостінних алюмінієвих профілів. За практичними рекомендаціями, для профілювання алюмінієвих сплавів потрібні менші кути підгинання та більші відстані між клітками стана, але практика не дає конкретних рекомендацій, на скільки саме треба зменшити кути підгину або збільшити міжкліткові відстані. Експериментально встановлено, що кути підгину, які є нормальними для сталевих профілів, при виготовленні алюмінієвих сплавів виявляються завеликими, а тому в процесі профілювання алюмінієвих профілів (за технологією профілювання сталевих) виникає такий вид браку як хвильастість крайки профілю. Хвильастість – це вид невіправного браку гнутих профілів, який проявляється у незворотному подовженні крайки профілю і обумовлюється її подовженням по відношенню

до полотна профілю за межі необоротної деформації. Хвильстість проявляється у вигляді синусоподібного згинання крайки з різною амплітудою та періодом. Хвильстість виникає через те, що довжина крайки полички, яка підгинається на кожній кліті на  $\Delta\alpha_k$ , виявляється довшою за довжину полотна. Це добре видно на рис. 1.

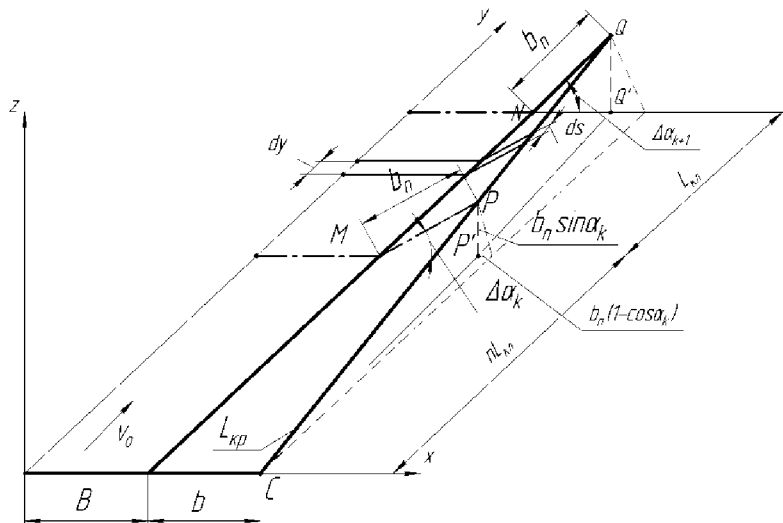


Рис. 1 – Схема формування П-подібного профілю: де  $B$  – половина ширини полотна, м;  $b$  – ширина полички, яка відгинається в процесі профілювання, м;  $\alpha_k$  – кут підгину на кліті з номером  $k$ , град.;  $\alpha_{k+1}$  – кут підгину на кліті з номером  $k+1$ , град.; СQ – пряма лінія, яка з'єднує початок профілю з кінцем.

Звичайно, що при виготовленні алюмінієвих профілів можна зменшити кути підгину. Але навіть за тих кутів підгину, які зараз використовують при вальцовуванні сталевих профілів, доводиться використовувати до 12 клітей. Якщо ж кути підгину зменшити, то кількість клітей ще збільшиться, а кожну кліті треба виготовити, встановити, налагодити, узгодити з попередньою. Крім того, кожен вид профілю вимагає різних кутів підгину на різних кліттях. Тому потрібна загальна математична модель процесу виготовлення гнутих профілів. Наша робота як раз і присвячена побудові такої математичної моделі.

**Матеріали досліджень.** На першому етапі робота присвячена побудові спрощеної моделі виготовлення гнутих профілів: в ній розглянуто задачу у першому наближенні, в якому прийняті два спрощення: 1) радіусом згину знехтуємо; 2) кут підгину  $\alpha$  є лінійною функцією  $y$ .

Пластична деформація заготованки (зокрема деформація крайки) починається після того, як залишкова деформація зразка при випробуванні на розтягування досягне 0,2%, тобто, коли напруження на крайці буде  $\sigma_{0,2}$ .

Введемо до розгляду нове поняття – критерій хвильстості  $K_x$ . Його чисельне значення будемо вираховувати як  $\frac{ds}{dy}$ , де  $ds$  – диференціал довжини крайки профілю, а  $dy$  –

диференціал полотна профілю. Очевидно, що  $K_x = \frac{ds}{dy}$  є функцією  $y$ . Крім того, очевидно, що критерій хвильстості визначає можливість утворення хвильстості. Якщо  $K_x \leq [K_x]$ , то в процесі виготовлення гнутого профілю, хвильстість не виникне. Для сталі за початок пластичної (необоротної) деформації прийнята деформація 0,2%. Тому для сталевих профілів  $[K_x] = 0,002$ .

Для визначення  $K_x$  розглянемо рис. 2. Візьмемо два довільних перерізи профілю:  $y_1 = y$  і  $y_2 = y + dy$ . Проекції цих перерізів показані на рис. 2.

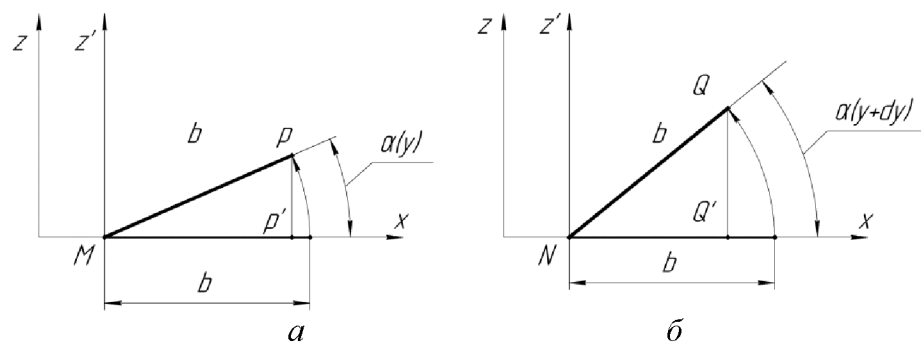


Рис. 2 – Переріз гнутого профілю площинами: а –  $y_1=y$ ; б –  $y_2=y+dy$  ( $\delta$ )

На рис. 3 показано переріз профілю площею  $z=0$ , а також проекції елемента  $ds$  на цю площину. Крім того, показано положення  $ds$  за умови, що вертикальна площа, в якій лежить елемент країки  $ds$ , повернута праворуч на  $90^\circ$  відносно проекції  $ds$  на площину  $z=0$ .

Звідси легко знайти  $ds$  у такому вигляді:

$$ds = \sqrt{(dy)^2 + [b \times \cos \alpha(y) - b \times \cos \alpha(y+dy)]^2 + [b \times \sin \alpha(y+dy) - b \times \sin \alpha(y)]^2} \quad (1)$$

Отже, ми отримали математичну модель процесу виготовлення деталі без хвилястості, але тільки у першому наближенні.

$$K_x = ds/dy = F(y) \leq [K_x] \quad (2)$$

де  $ds$  розраховується по формулі (1).

Вже з цієї математичної моделі, яка є першим наближенням, можна отримати важливі висновки, які визначають вплив основних чинників на режим валюцованих профілів.

Ширина полотна  $2B$  на вірогідність утворення хвилястості не впливає: вона може бути якою завгодно малою або великою.

Ширина полочки  $b$  впливає на вірогідність утворення хвилястості дуже сильно. Це видно з рис. 4, де показана залежність  $K_x$  від  $b$ , а також кута підгину  $\alpha$  та міжкліткової відстані  $L_{kl}$ .

Кут підгину  $\Delta\alpha$  на кожній кліті також впливає на вірогідність утворення хвилястості. Це видно з рис. 4, де показана залежність  $K_x$  від кута підгину  $\alpha$ , а також від ширини полочки  $b$  та міжкліткової відстані  $L_{kl}$ .

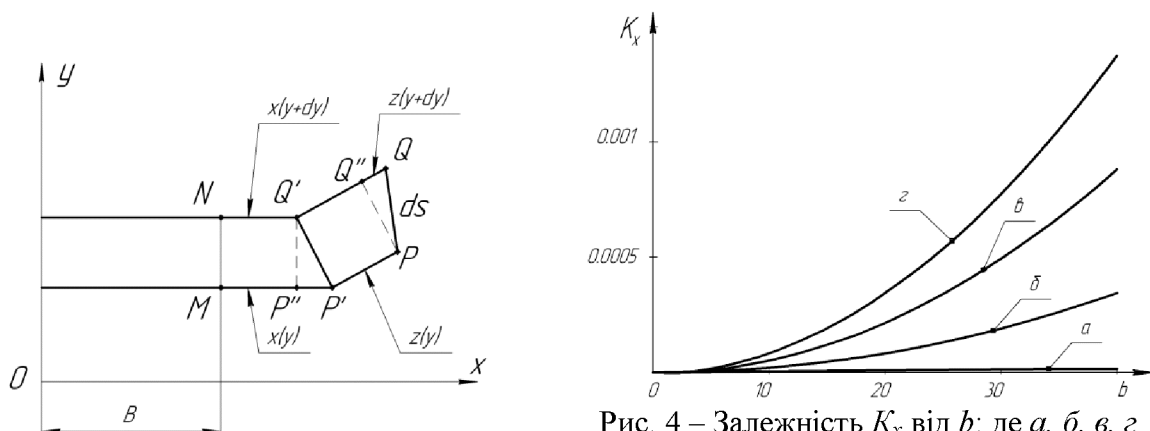


Рис. 3 – Переріз гнутого профілю площинами  $z=0$  та проекції елемента  $ds$  на цю площину

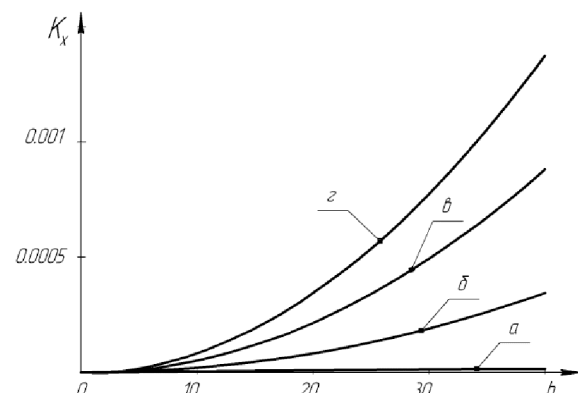


Рис. 4 – Залежність  $K_x$  від  $b$ : де  $a$ ,  $b$ ,  $c$  – графіки, де  $\alpha$  змінюється від  $15$  до  $30^\circ$  з кроком в  $5^\circ$ , а  $L_{kl}$  змінюється в залежності від  $\alpha$

Дуже важливим висновком з цієї моделі є висновок про те, що вірогідність утворення хвилястості є різною на кожній парі клітей. Це видно з рис. 5, де показана залежність  $K_x$  між різними номерами клітей.

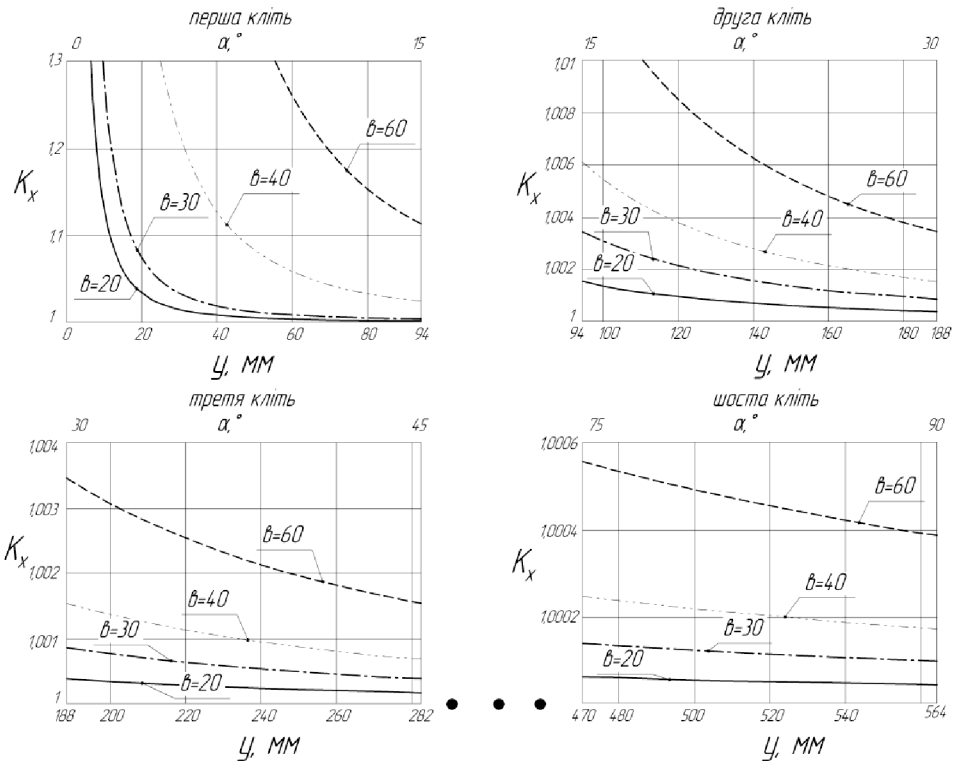


Рис. 5 – Залежність  $K_x$  від номера кліті

Як видно з цих графіків, запропонована модель не працює на початку процесу профілювання. Однак вона дуже добре показує, що імовірність виникнення хвилі є високою на перших клітях. Також значну роль відіграє ширина полички: чим вона більша, тим і вірогідність виникнення хвилі більша.

Отже, перше наближення дає можливість оптимізувати процес формоутворення профілю за критерієм хвилястості  $K_x$ , а саме: на усіх клітях розраховувати кути підгину так, щоб задовільнити умову  $K_x \leq [K_x]$ .

Але прийняті спрощення не дозволяють отримати модель, яка б адекватно описувала дійсний процес формоутворення профілю. Як показали опубліковані дослідження різних авторів, позаконтактна деформація не дозволяє вважати, що кут підгину є лінійною функцією координати  $y$ .

Тому в наступній частині в моделі враховано залежність кута згину  $\alpha_k$  від координати  $y$ . Автори вважають, що поточний кут згину профілю  $\alpha_k$  є кубічною функцією координати  $y_k$ :

$$\alpha_k(y_k) = a_0 + a_1 y_k + a_2 y_k^2 + a_3 y_k^3 \quad (2)$$

Тут  $a_0 \dots a_3$  – невідомі параметри, які можна варіювати.

**Висновок.** На базі прийнятих спрощень побудована математична модель процесу формоутворення гнутих профілів і запропоновано оптимізацію процесу за критерієм хвилястості.

Проте автори усвідомлюють, що прийняті спрощення не реалізуються в реальному процесі. Тому перше наближення використане виключно з методичної точки зору, хоча і воно дозволяє, хоч би якісно, визначити вплив основних чинників на вірогідність утворення хвилястості в процесі вальцовування профілів.

Друга частина роботи буде присвячена побудові математичної моделі процесу профілювання з урахуванням позаконтактної деформації полички та переходом від полотна до полички по певному радіусу R.

**Список літератури:** 1. Євстратов В.О., Коворотний Т. Л. Розроблення методики отримання якісних профілів з алюмінієвого сплаву АМц /Обработка материалов давлением. Сб. науч тр., №2 (21) – Краматорск: ДГМА, 2009. – с. 231-236, 2. Производство и применение гнутых профилей проката / Справочник под ред. И. С. Тришевского. – М.: Металлургия, 1975. – 536 С. 3. Гун Г.Я. Математическое моделирование процессов обработки металлов давлением. Учебное пособие для вузов. – М.: Металлургия, 1983. – 285 С.

Надійшла до редколегії 19.10.2012

УДК 621.73

**Оптимізація процесу виготовлення гнутих профілів за критерієм хвилястості. Частина 1.**  
/ Коворотний Т. Л., Євстратов В. О., Остриков Д. В. // Вісник НТУ «ХПІ». Серія: Нові рішення в сучасних технологіях. – Харків: НТУ «ХПІ». – 2012. – №47(953).) – С. 126–130. Бібліогр.: 3 назви.

Статья посвящена анализу формоизменения тонкостенного гнутого профиля. Показано, что использование даже упрощенной модели процесса формоизменения позволяет оптимизировать процесс по критерию волнистости  $K_x$ . Показано также, что такое упрощение, как линейная зависимость между углом подгиба и координатой y, которая принятая в первой части, далеко не корректна. Поэтому в дальнейшем будет проанализирована модель, в которой угол подгиба будем определять кубической функцией.

**Ключевые слова:** гнутий профиль, критерій волнистості, кромка, полка, межклетьєве расстояние.

This article analyzes the forming of thin-walled curved profile. It is shown that the use of even a simplified model of the process gives the possibility to optimize the process of forming by waviness criterion  $K_x$ . We also show that this simplification (a linear relationship between the angle and hems coordinate y), which was adopted in the first part, is not correct. Therefore, in the next part we will analyze a model in which the angle of hem will determine the cubic function.

**Keywords:** spun profile waviness criterion, edge, shelf, the distance between the stands..

УДК 621.477

**Ю.В. КОНОВАЛОВ,** докт. техн. наук, проф., ДонНТУ, Донецк;  
**А. С. ХОХЛОВ,** аспирант, ДонНТУ, Донецк

## **МАТЕМАТИЧЕСКОЕ МОДЕЛИРОВАНИЕ УСЛОВИЙ ПРОКАТКИ НА СТАНАХ СТЕККЕЛЯ**

Сделан анализ методик расчета энергосиловых параметров прокатки, выбраны две основные методики, которые подходят для условий стана Стеккеля, это методика А.И. Целикова и методика М.Я. Бровмана. Разработана новая методика расчета силы прокатки для стана Стеккеля, которая включает в себя расчет температуры по новой предложенной формуле проверенной экспериментом в промышленных условиях. Выполнено моделирование процесса прокатки для разных исходных данных.

**Ключевые слова:** прокатка, методика, расчет, стан Стеккеля, сила прокатки, скорость прокатки, температура.

**Введение.** Технологический процесс на одноклетевом стане Стеккеля состоит из нескольких этапов [1]: нагрев (подогрев) металла; прокатка в реверсивной клети квартто; подогрев металла в печной моталке; прокатка; принудительное охлаждение; смотка в рулон.

Процесс прокатки полосы на стане Стеккеля является сложным объектом моделирования и требует разработки математических моделей и соответствующие им алгоритмы, которые описывают тепловое и напряженно-деформированное состояние полосы и позволяют выбрать рациональные схемы технологического процесса.

**Целью исследования** является разработка математической модели и соответствующего ей алгоритма расчета.

© Ю. В. Коновалов, А. С. Хохлов, 2012